

Санкт-Петербургский государственный политехнический университет Институт прикладной математики и механики Кафедра «Механика и процессы управления»

Магистерская работа по направлению 150300 «Прикладная механика»

Разработка методики испытаний на прочность мест креплений ремней безопасности легкового автомобиля в соответствии с правилами ЕЭК OOH №14

Выполнил студент группы 6055/11 Руководитель, к. т. н., профессор Соруководитель, асс.

Хакапо С. С. Боровков А. И. Клявин О. И.

Санкт-Петербург 2013 год

- Описание проблемы
- Методика испытаний на прочность мест креплений ремней безопасности легкового автомобиля в соответствии с правилами № 14 ЕЭК ООН
- Разработка КЭ моделей кузова автомобиля, водительского сиденья, ремня безопасности и растягивающего устройства
- Разработка методики испытаний на прочность мест креплений ремня безопасности легкового автомобиля в соответствии с правилами № 14 ЕЭК ООН
 - КЭ проведение испытаний на прочность мест креплений ремня безопасности в соответствии с правилами № 14 ЕЭК ООН
 - Изгиб балки П-образного сечения
 - Замена действия ремня безопасности действием эквивалентных сил и моментов. Переход к статической задаче
 - Рассмотрение верхней точки крепления ремня безопасности
 - Сходимость метода конечных элементов
 - Исследование влияния моделей крепления ремня безопасности на результаты вычислений на примере верхней точки крепления

Описание проблемы

- Ремень безопасности (РБ) средство пассивной безопасности, предназначенное для удержания пассажира автомобиля на месте в случае аварии
 - Трехточечный РБ
- РБ уменьшает риск гибели водителя:
 - при фронтальном столкновении — в 2.3 раза
 - при боковом в 1.8 раза
 - при опрокидывании в 5 раз



- РБ снижает вероятность гибели пассажиров:
 - переднего сиденья на 40-50 %
 - заднего сиденья на 25 %

Необходимым условием эффективной работы РБ является достаточная прочность креплений и мест креплений РБ



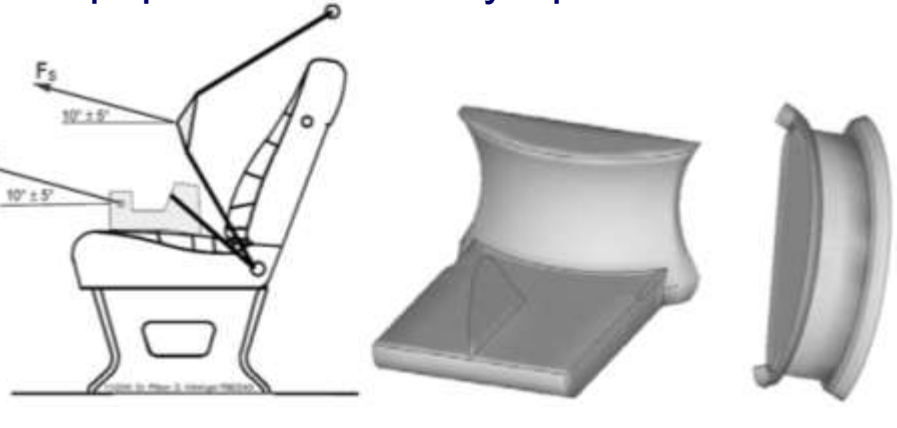
Методика испытаний на прочность мест креплений РБ легкового автомобиля в соответствии с правилами № 14 ЕЭК ООН

- Испытаниям могут подвергаться либо кузов транспортного средства (TC), либо полностью оборудованное TC
- Рекомендуется устанавливать кузов на опоры, расположенные приблизительно на уровне осей колес
- Полная нагрузка должна прилагаться максимум в течение 60 секунд и удерживаться в течение 0.1-0.2 секунд
- Проведение физического теста





 Схема приложения нагрузки и форма натяжного устройства



- $F_S = F_B = 13500(\pm 200 \text{ H}) + 20P_S$
- P_S вес сиденья в сборе
- Использование КЭ со средним размером 8 мм не позволяет аккуратно моделировать геометрию и крепления РБ
- Необходима новая методика испытаний

КЭ модель кузова автомобиля

• CAD модель





1680 MM



Тип КЭ – S4R и S3R, SFM3D4R и SFM3D3, B31

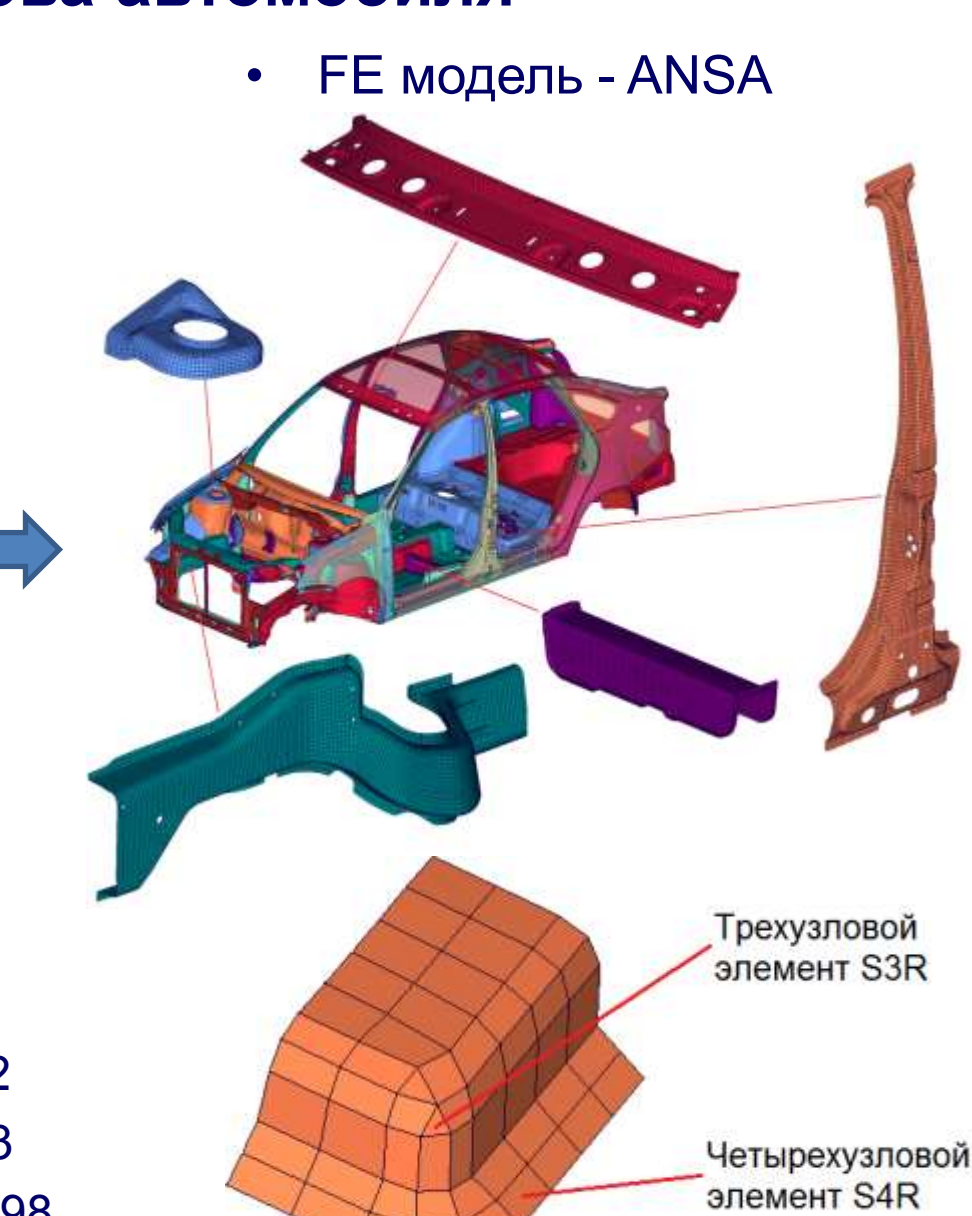
• Элементов (NFE)

579 622

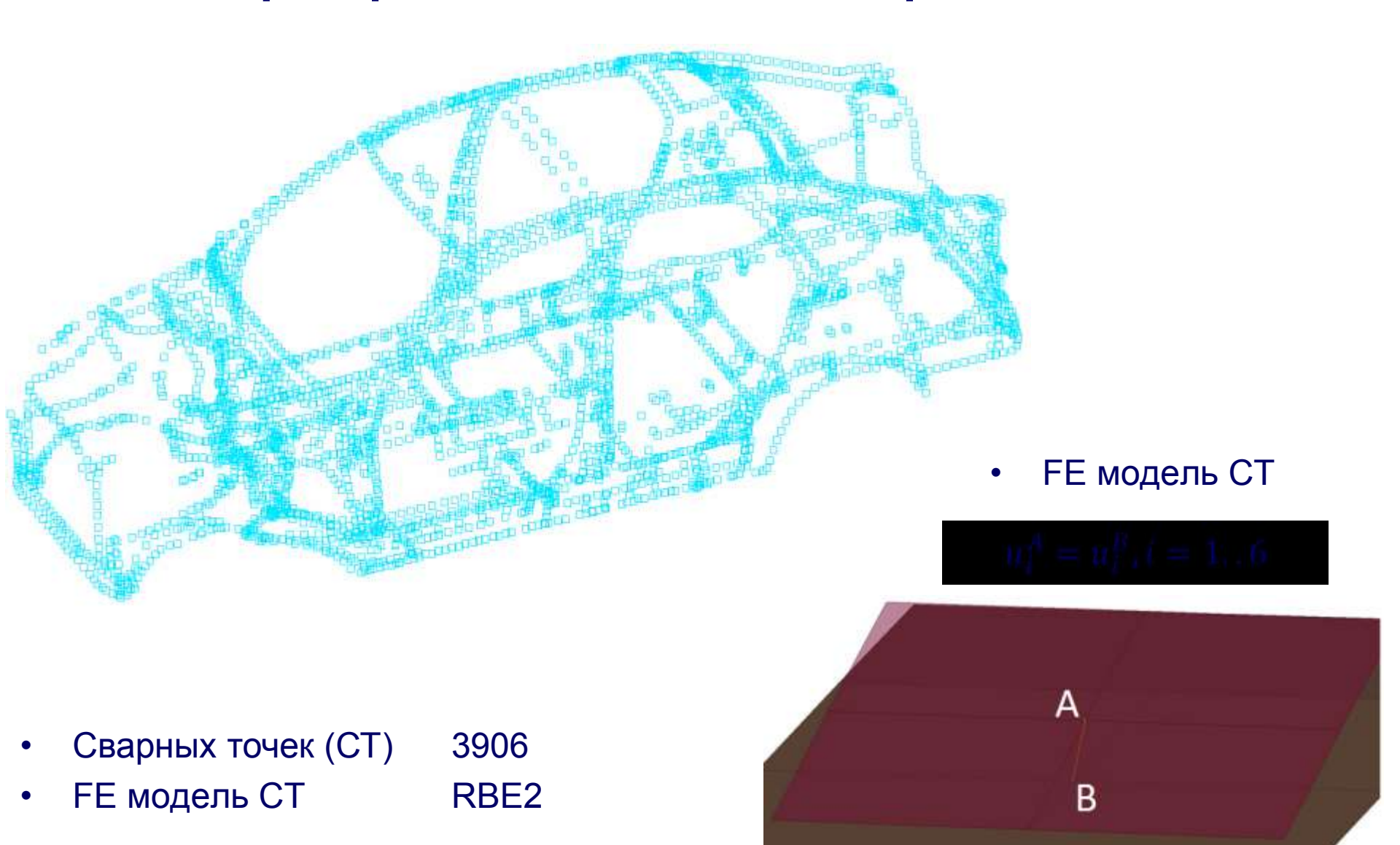
• Узлов (NN)

595 483

• Степеней свободы (NDF) 3 572 898



Пространственное поле сварных точек

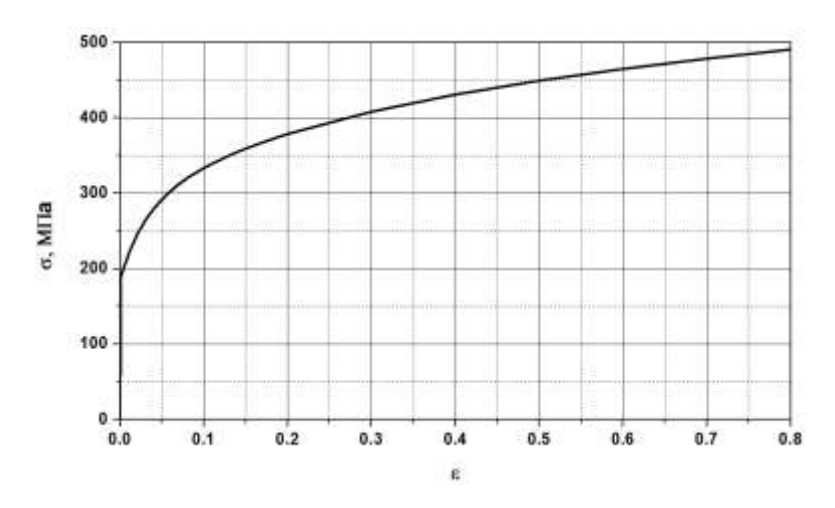




Модель материала

- Материал изотропный, однородный, упруго-пластический с изотропным упрочнением
- $E = 175 \, \Gamma \Pi a$
- $\bullet \quad \rho = 7820 \, \frac{\kappa \Gamma}{M^3}$
- $\nu = 0.3$
- $\sigma_p = 189.9 \, \text{M}\Pi a$

Диаграмма зависимостей напряжениядеформации для стали 08Ю-эц1







КЭ модели водительского сиденья, РБ и растягивающего устройства

Водительское сиденье



Тип K9 – S4R и S3R, SFM3D4R и SFM3D3, B31, M3D3 и M3D4R, C3D4 и C3D8R, CONN3D2

- NFE 120 014
- NN 55 881
- NDF 270 644

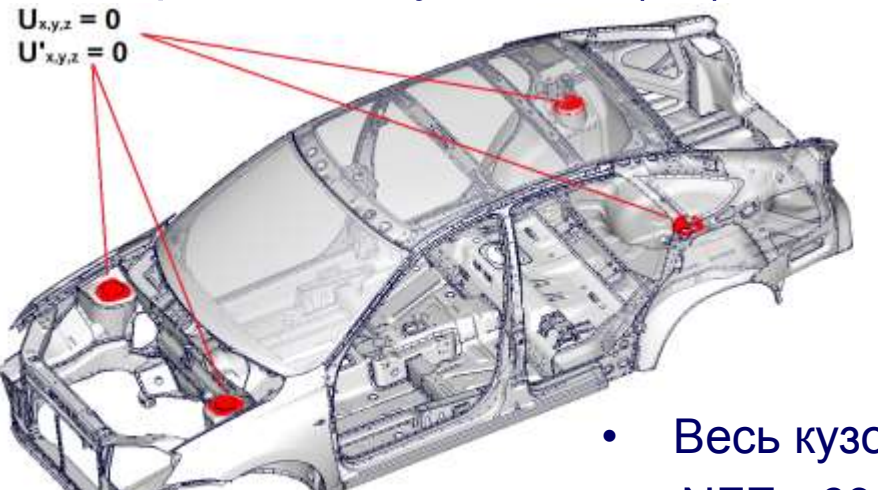
Модели РБ и растягивающего устройства



КЭ проведение испытаний на прочность мест креплений ремня безопасности в соответствии с правилами № 14 ЕЭК ООН

Граничные условия (ГУ)

 $U_{x,y,z} = 0$ $U'_{x,y,z} = 0$



Весь кузов

NFE - 699 636

NN - 651 364

NDF - 3 843 542

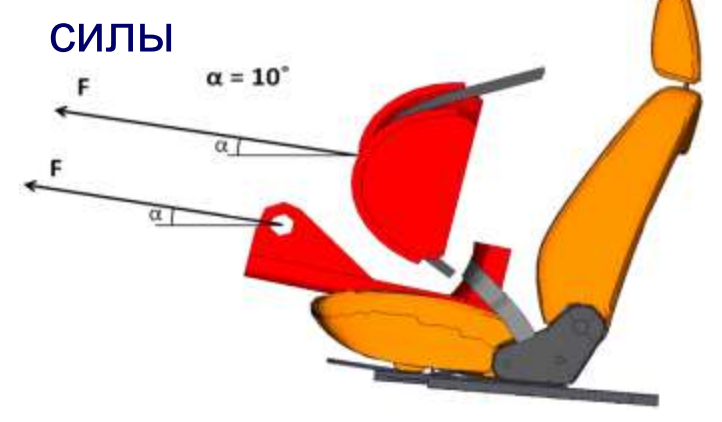
Обрезанный кузов

NFE - 280 453

NN - 220 781

NDF - 1 262 405

Направление действия

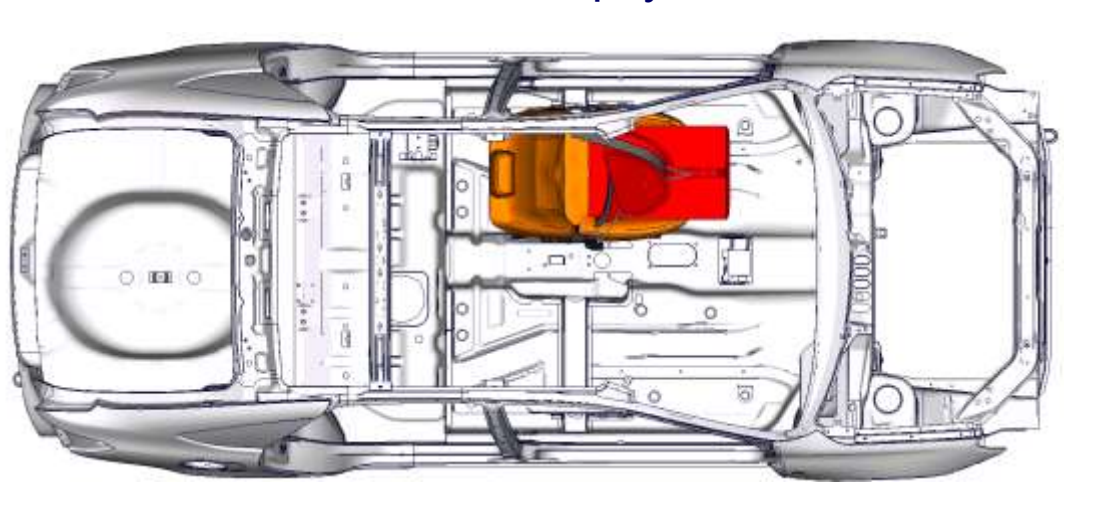




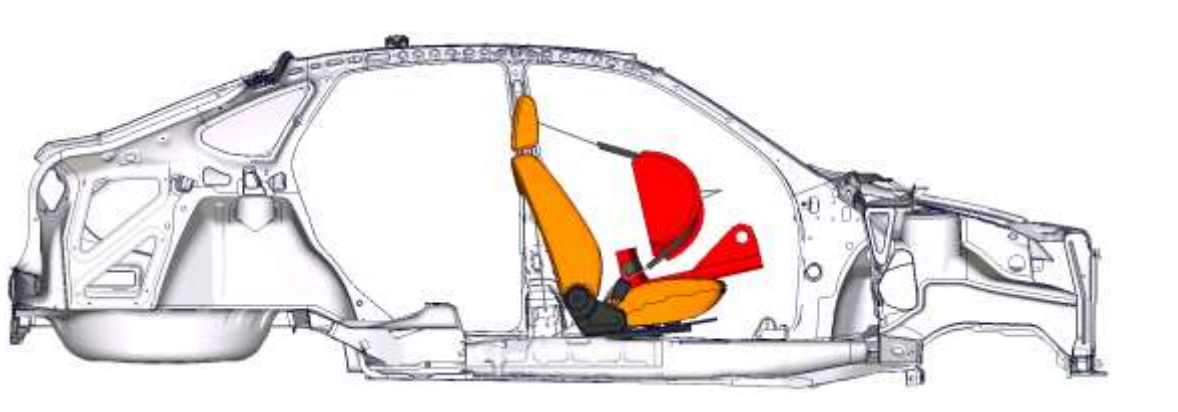
t, ms

Результаты КЭ моделирования - ABAQUS

• Вид сверху



Вид сбоку



Вид спереди

Кафедра

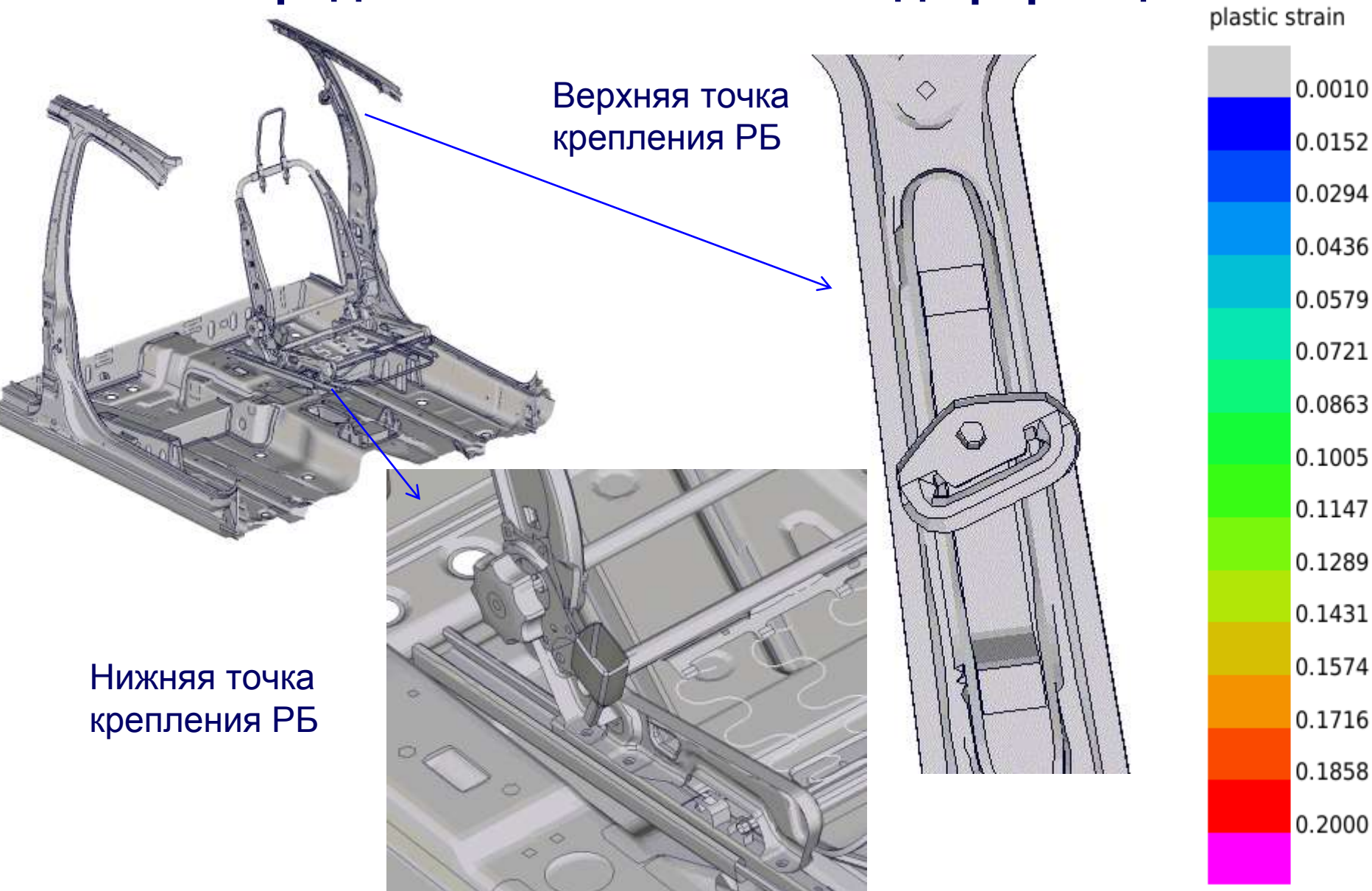


• Изометрия





Распределение пластических деформаций



Сравнение результатов решения динамических задач

Верхняя точка крепления РБ

0.2869

0.2546

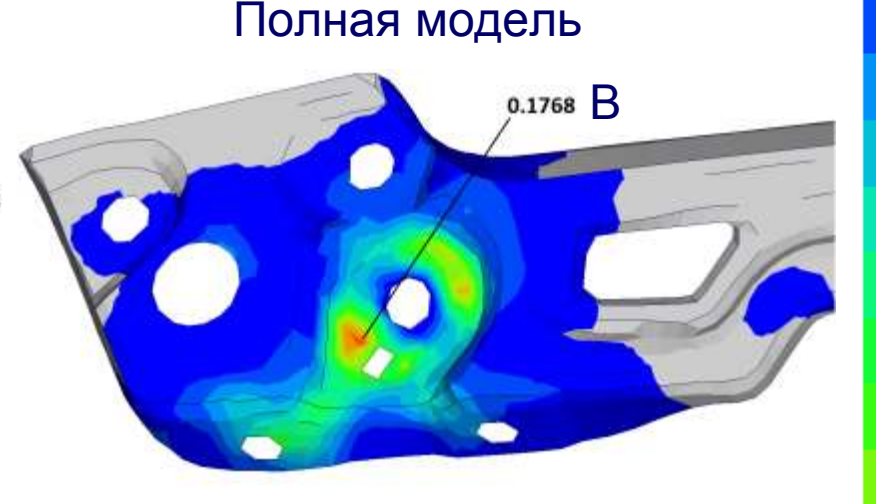
Б

0.2839 0.2528 Б

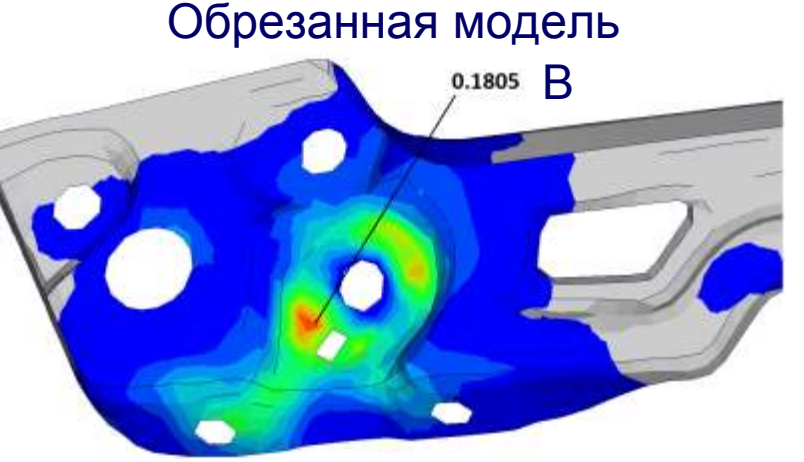


- $\Delta \varepsilon_{\text{OTH}}^{\text{A}} = 1.05\%$
- $\Delta \varepsilon_{\text{OTH}}^{\text{B}} = 0.71\%$
- $\Delta \varepsilon_{\text{OTH}}^{\text{B}} = 2.1\%$

Нижняя точка крепления РБ







plastic strain

0.0010

0.0152

0.0294

0.0436

0.0579

0.0721

0.0863

0.1005

0.1147

0.1289

0.1431

0.1574

0.1716

0.1858

0.2000

Изгиб балки П-образного сечения

• Постановка задачи

Ux=Uy=Uz=0

Ux=0

Uy=0

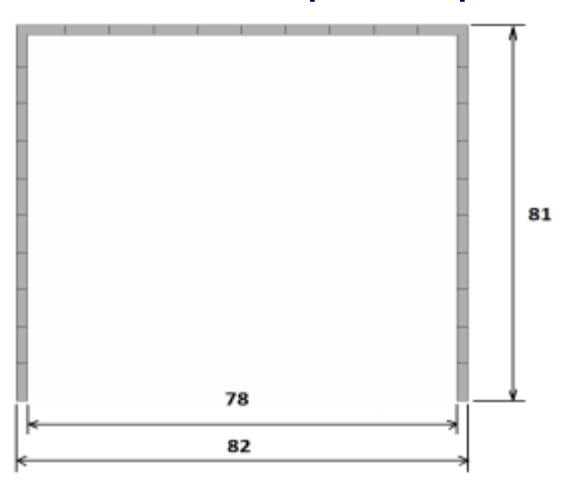
Uy=0

Uy=0

U'x=U'z=0

Профиль балки – размеры в мм

Кафедра



Законы приложения нагрузки

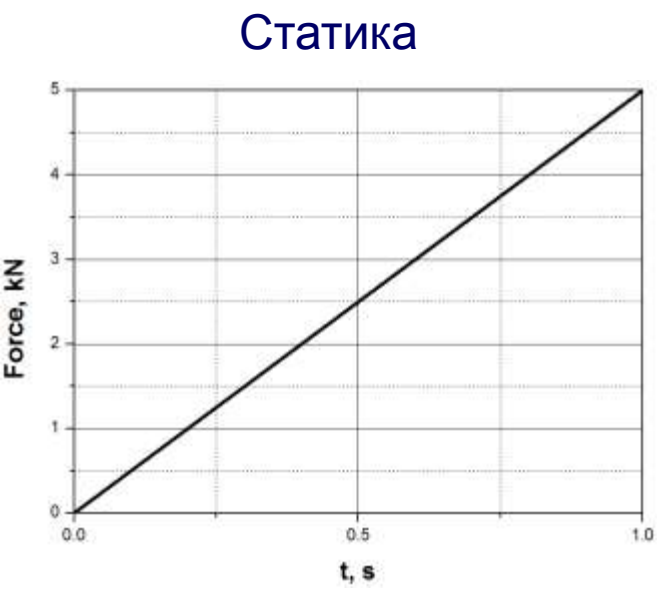
- Материал балки сталь 08Ю-эц1
- Средний размер элементов – 8 мм
- Тип KЭ S4R

NFE - 930

NN - 1008

NDF - 6 048

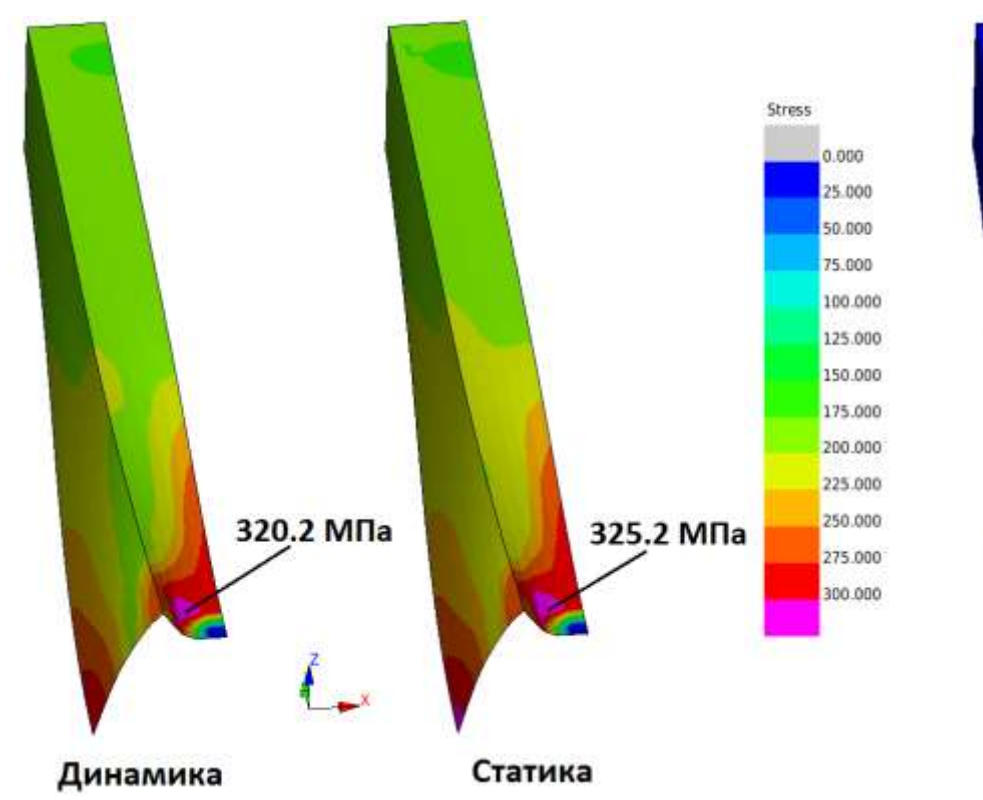


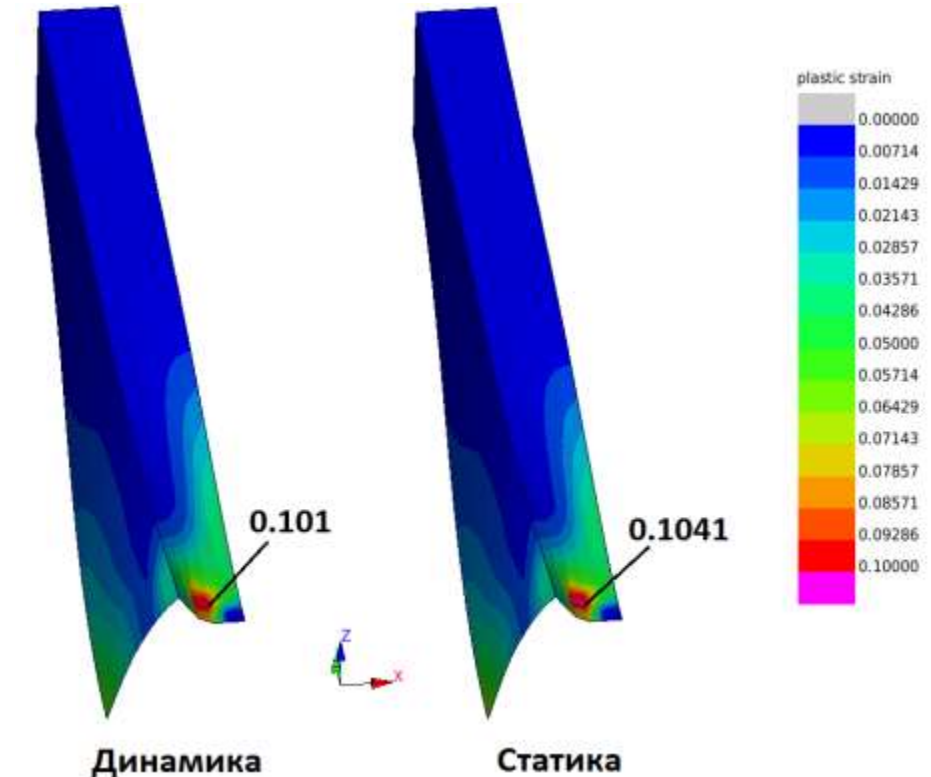


Сравнение результатов решения динамической и статической задач

Эквивалентные по Мизесу напряжения

Пластическая составляющая ε_{eav}^{pl} эквивалентных по Мизесу деформаций



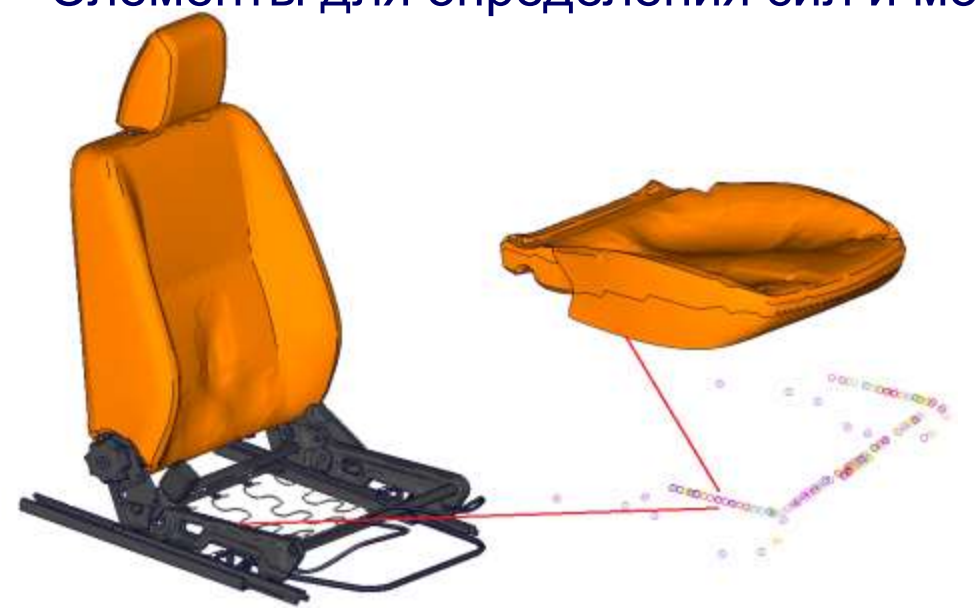


 $\Delta \sigma_{\rm orr} = 1.54\%$

•
$$\Delta \varepsilon_{\text{OTH}} = 2.98\%$$

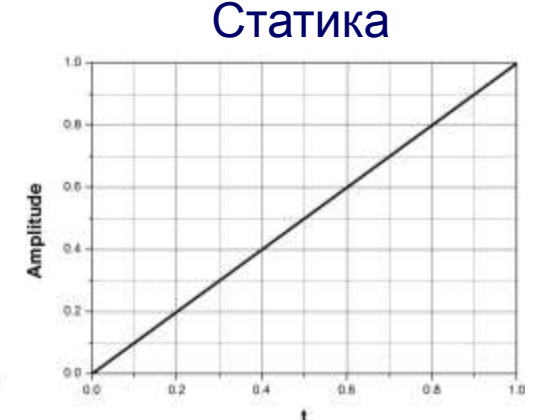
Замена действия РБ действием эквивалентных сил и моментов. Переход к статической задаче

Элементы для определения сил и моментов (СиМ) • ГУ и направления



Законы приложения нагрузки







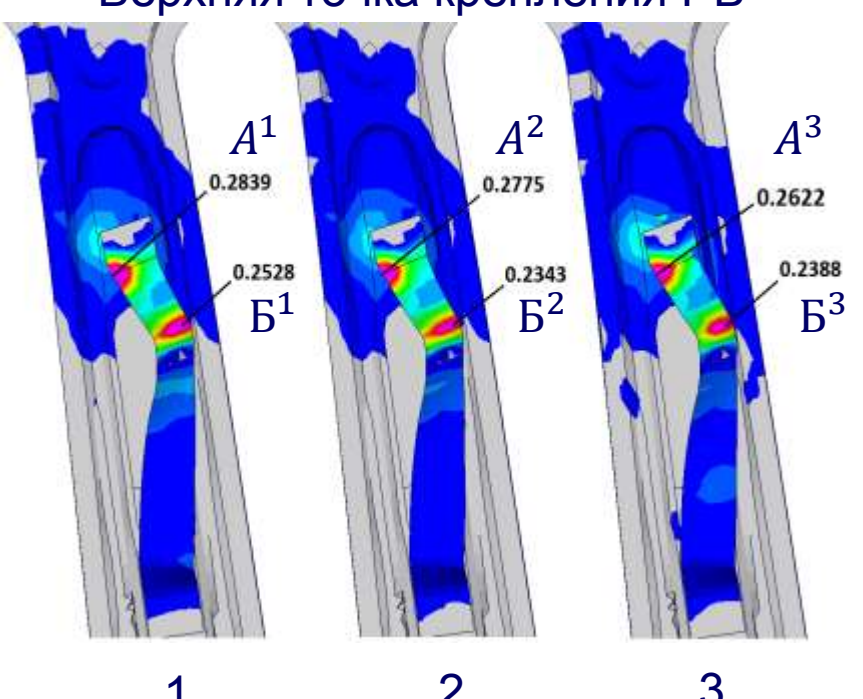
NFE - 193 885

NN - 200 571

NDF - 1 197 906

Результаты КЭ моделирования

• Верхняя точка крепления РБ

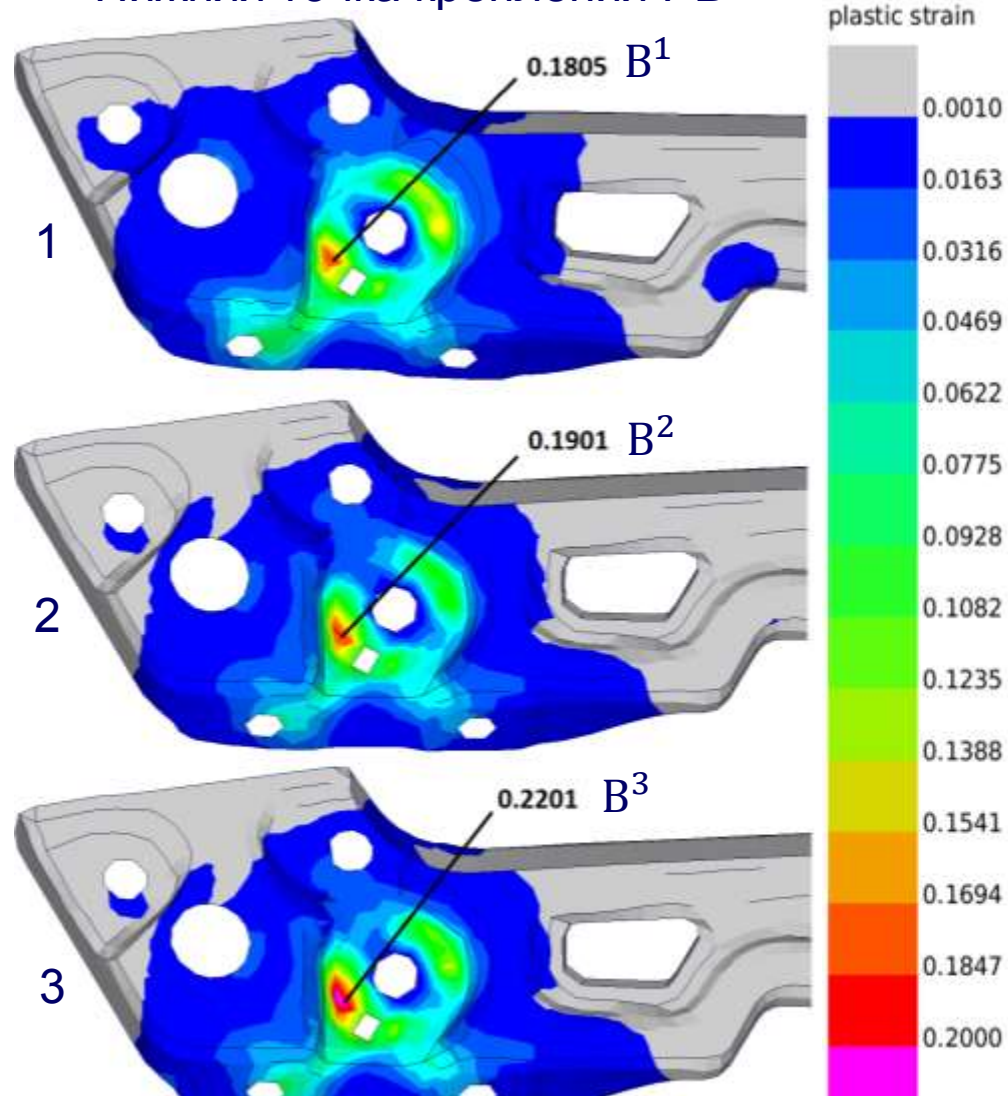


- 1 модель с РБ, динамика
- 2 модель с СиМ, динамика
- 3 модель с СиМ, статика



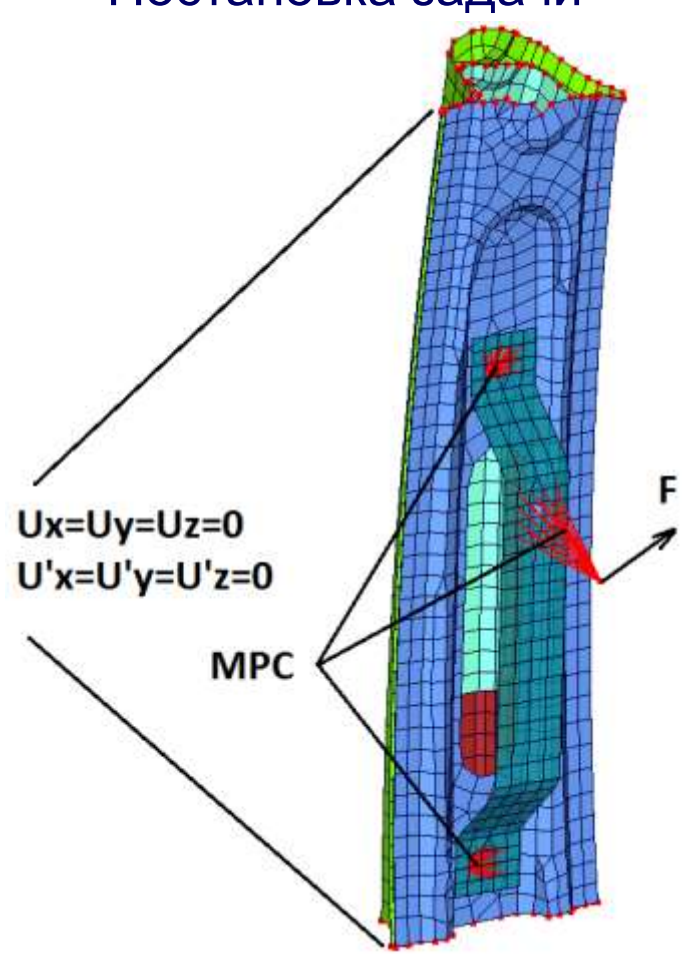
- $\Delta \varepsilon_{\text{отн}}^{\text{Б}^1 \text{и} \text{Б}^2} = 7.32\%$ $\Delta \varepsilon_{\text{отн}}^{\text{Б}^2 \text{и} \text{Б}^3} = 1.92\%$
- $\Delta \varepsilon_{\text{отн}}^{\text{B}^1 \text{иB}^2} = 5.32\%$ $\Delta \varepsilon_{\text{отн}}^{\text{B}^2 \text{иB}^3} = 15.78\%$



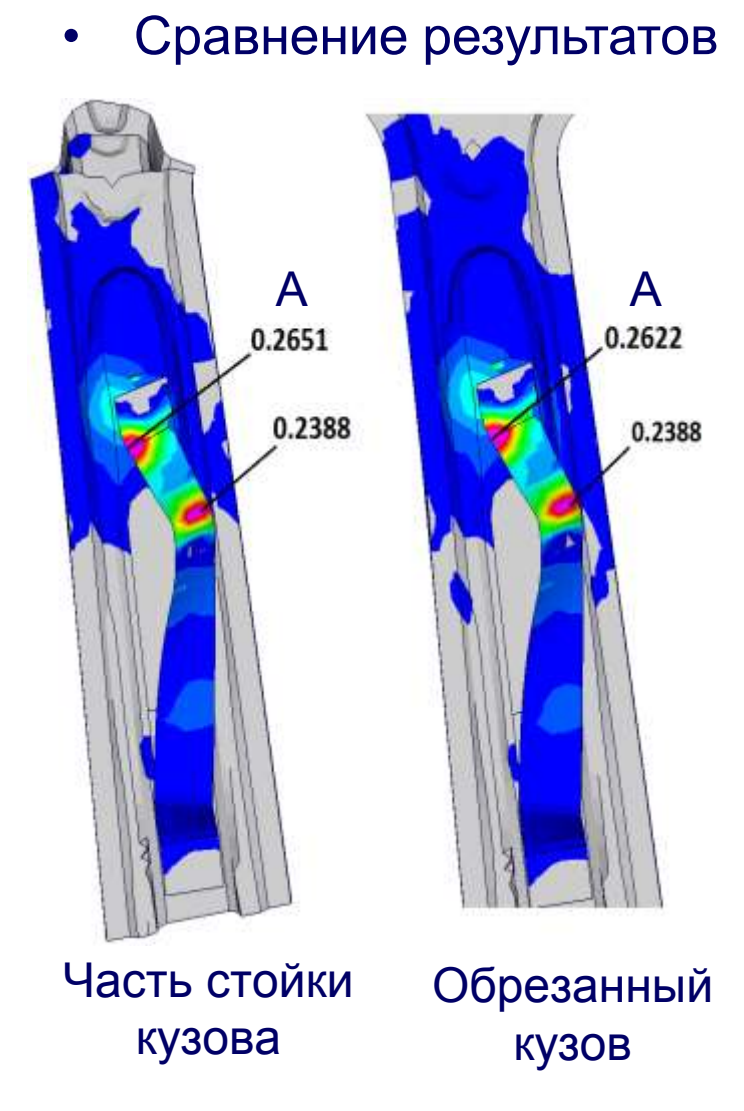


Рассмотрение верхней точки (ВТ) крепления РБ

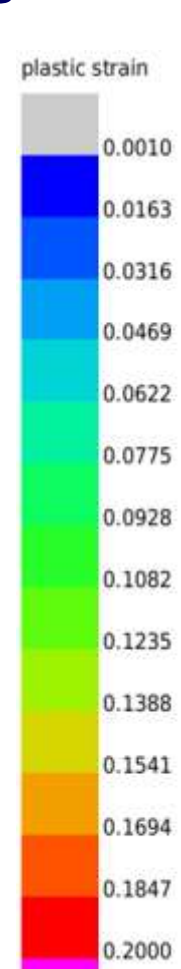
• Постановка задачи



- NFE 2 830
- NN 3 120
- NDF 18 720
- Средний размер элементов 8 мм
- Тип КЭ S4R и S3R



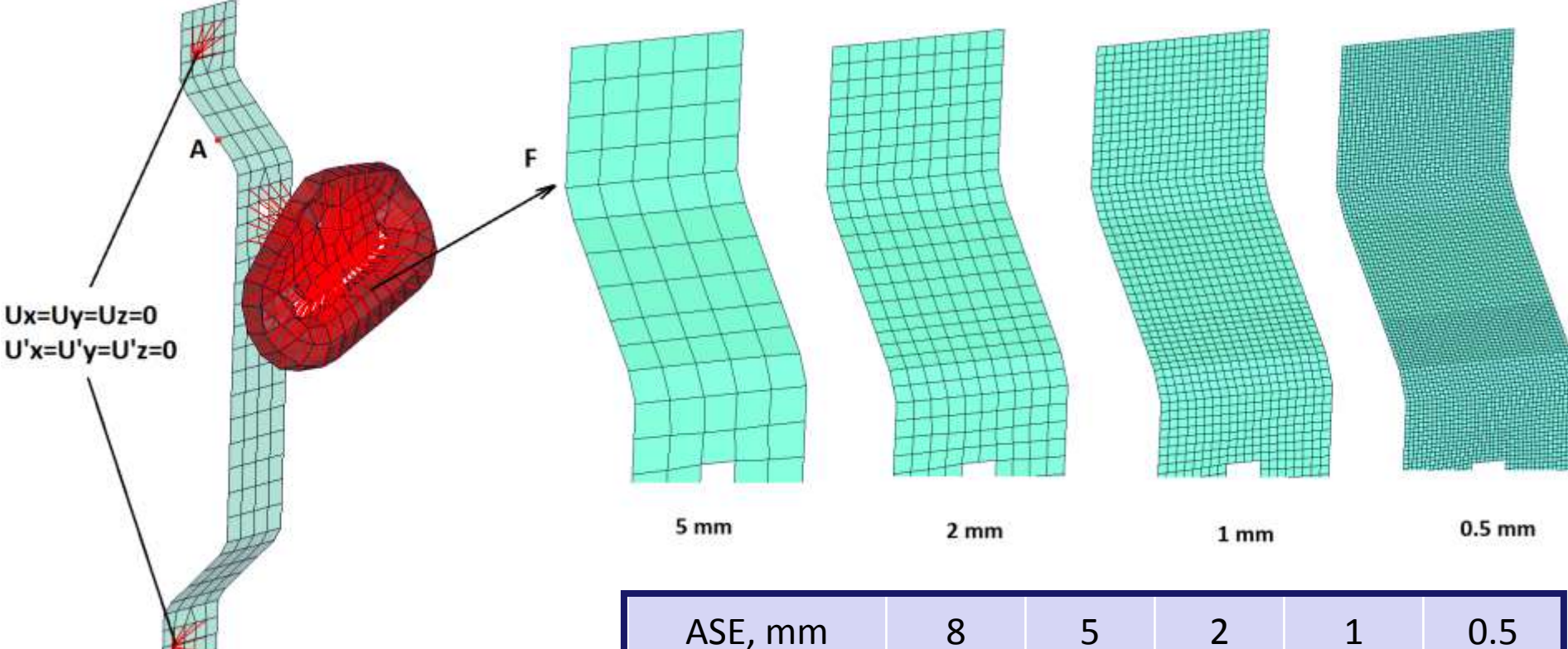






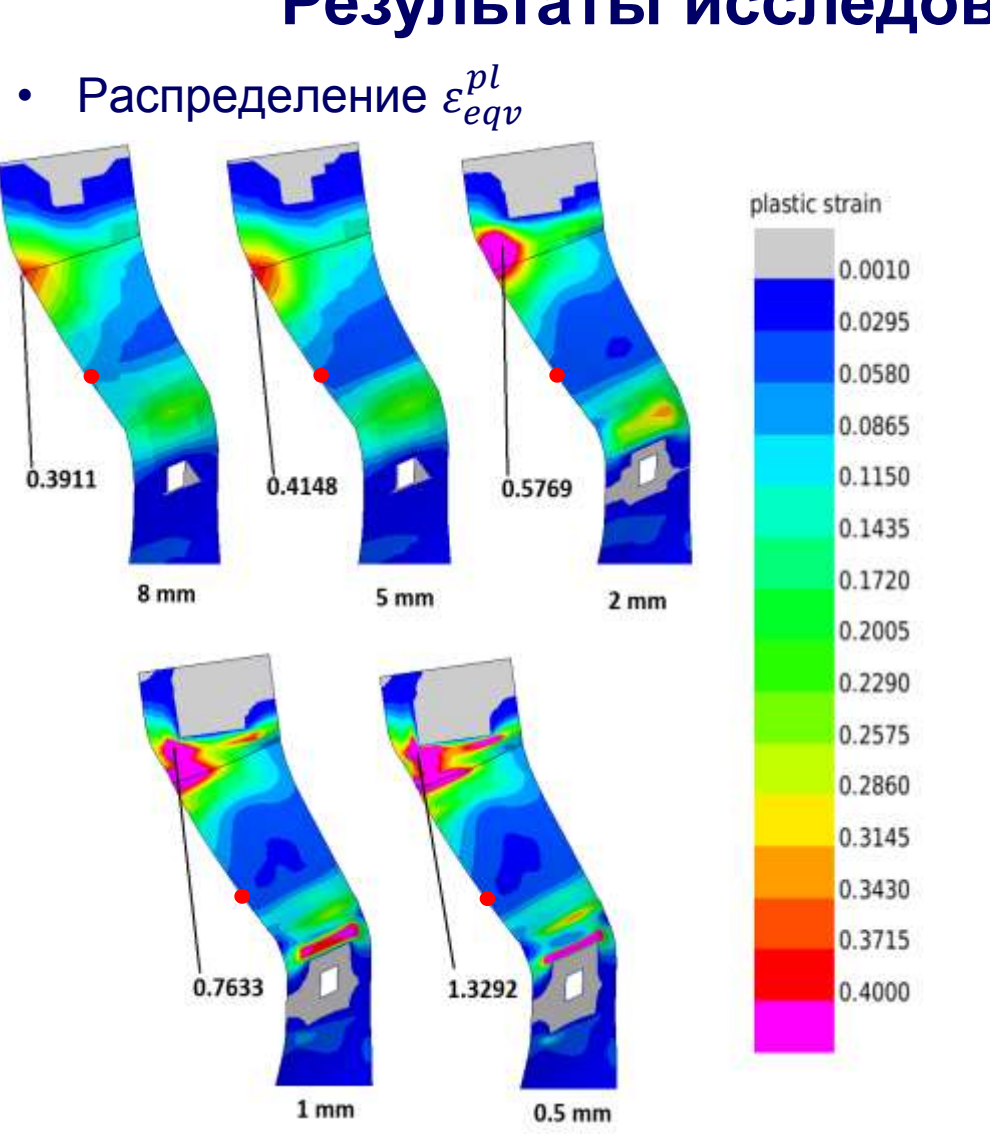
Сходимость метода конечных элементов

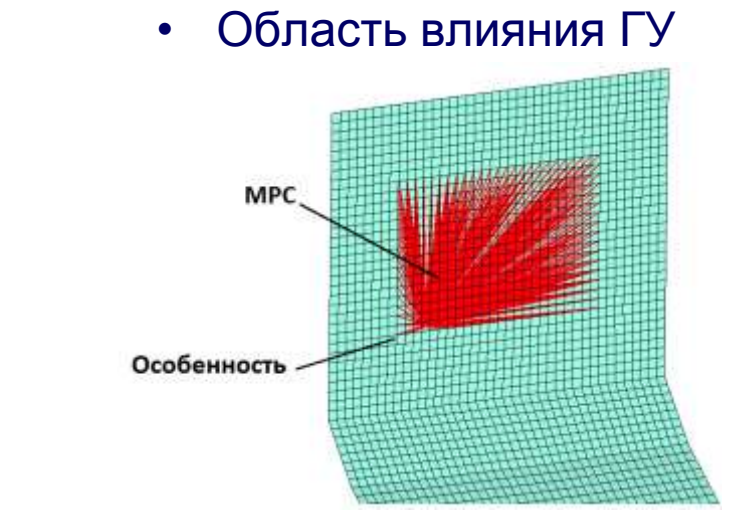
• Постановка задачи • Размер конечных элементов



 Тип КЭ – S4R и S3R, SFM3D4R и SFM3D3 ASE, mm NE 416 483 1140 3768 14280 NN 434 512 1220 3950 14666 7320 23700 87996 **NDF** 2604 3072

Результаты исследования сходимости





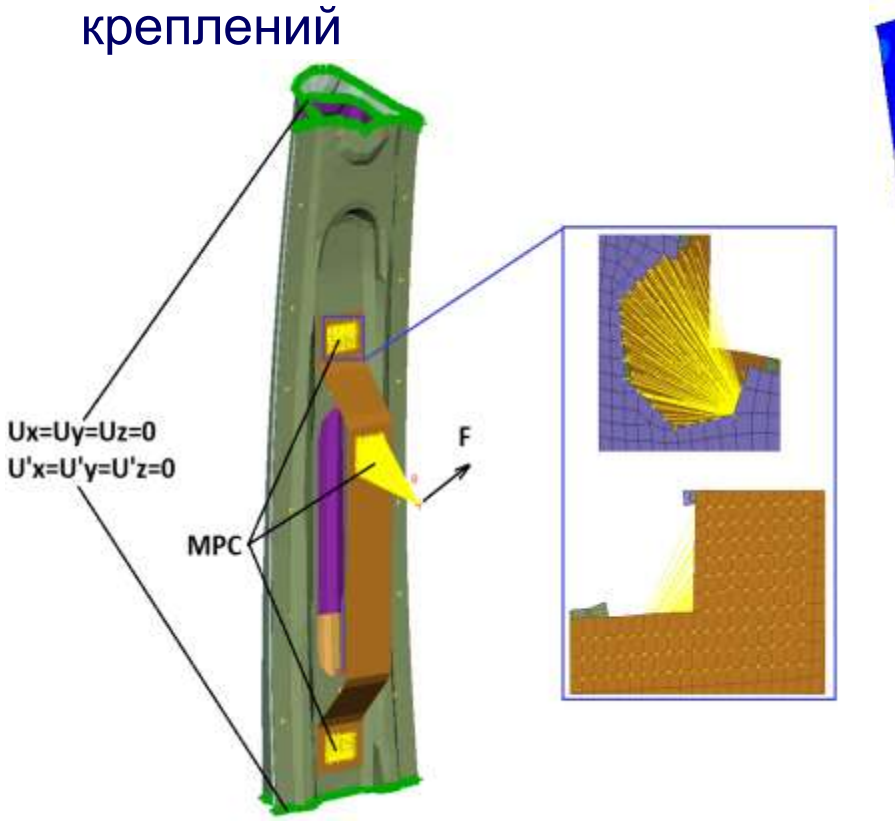


• — Точка А для исследования сходимости

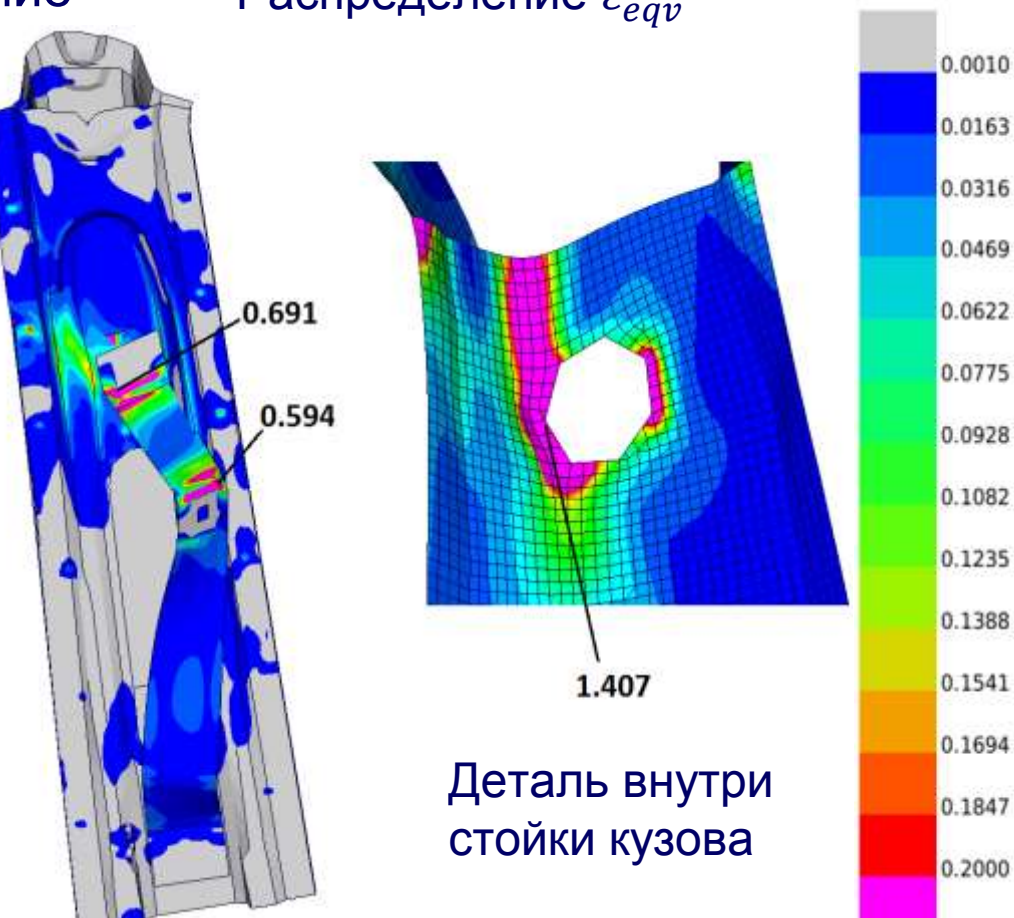


Исследование влияния моделей крепления РБ

на результаты вычислений. ВТ крепления Постановка задачи. Использование • Распределение ε_{eav}^{pl} plastic strain



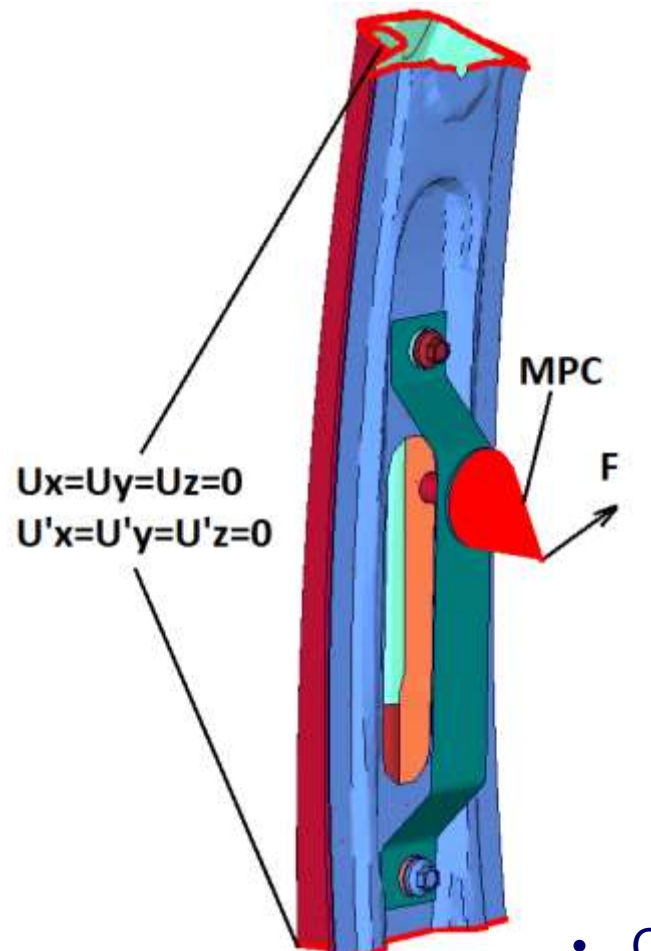
старой геометрии и моделей



- NFE 96 053
- 97 867
- NDF 587 202
- Средний размер элементов – 1 мм
- Тип КЭ S4R и S3R

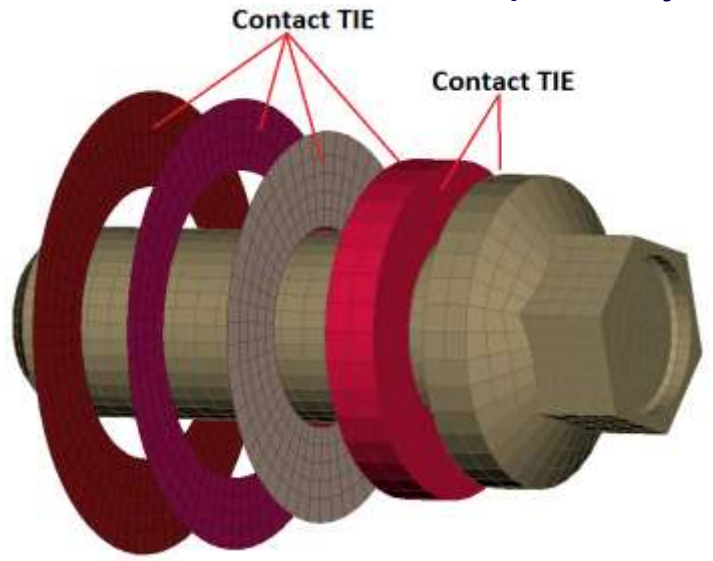
Использование болтовых соединений

• Постановка задачи

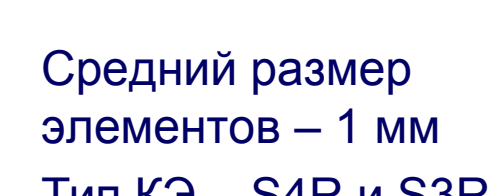


- NFE 148 977
- NN 155 041
- NDF 880 806

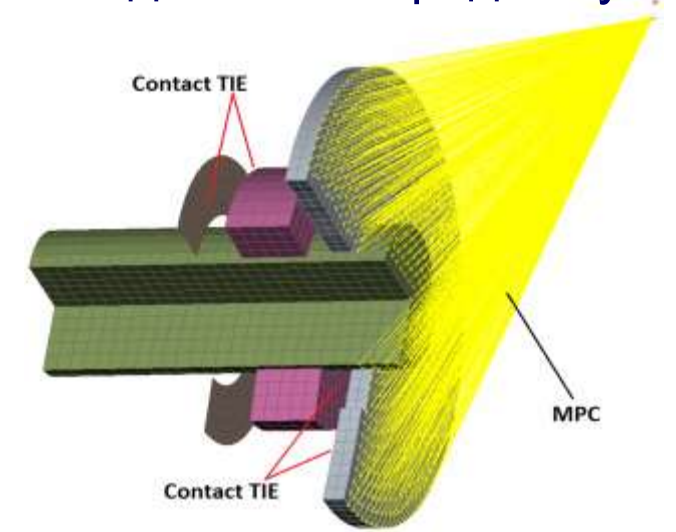
Крепление деталей к верхнему болту



Крепление деталей к среднему болту

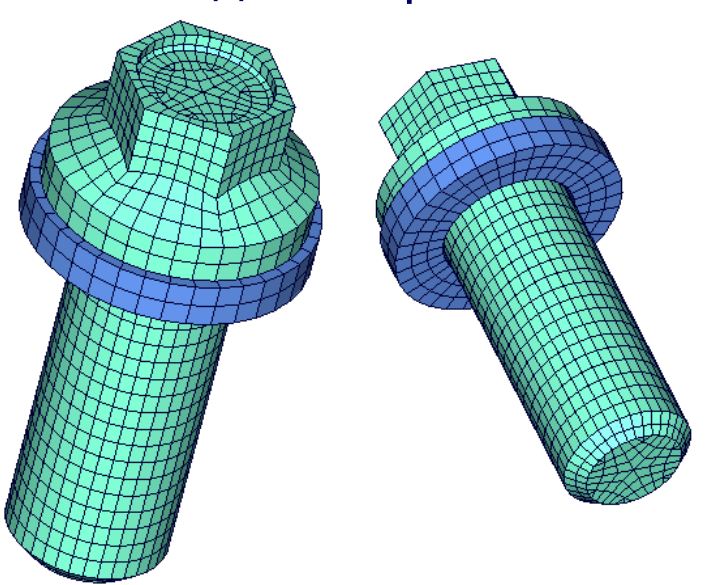


Тип КЭ – S4R и S3R,
 C3D6 и C3D8R

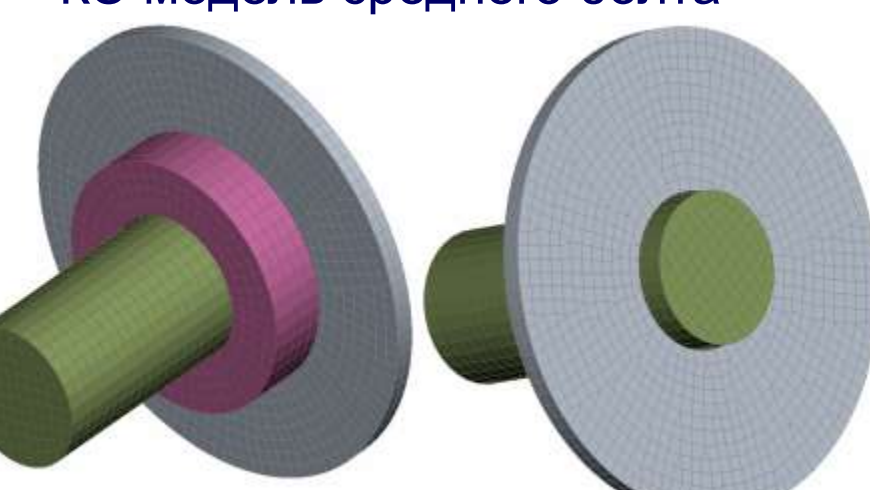


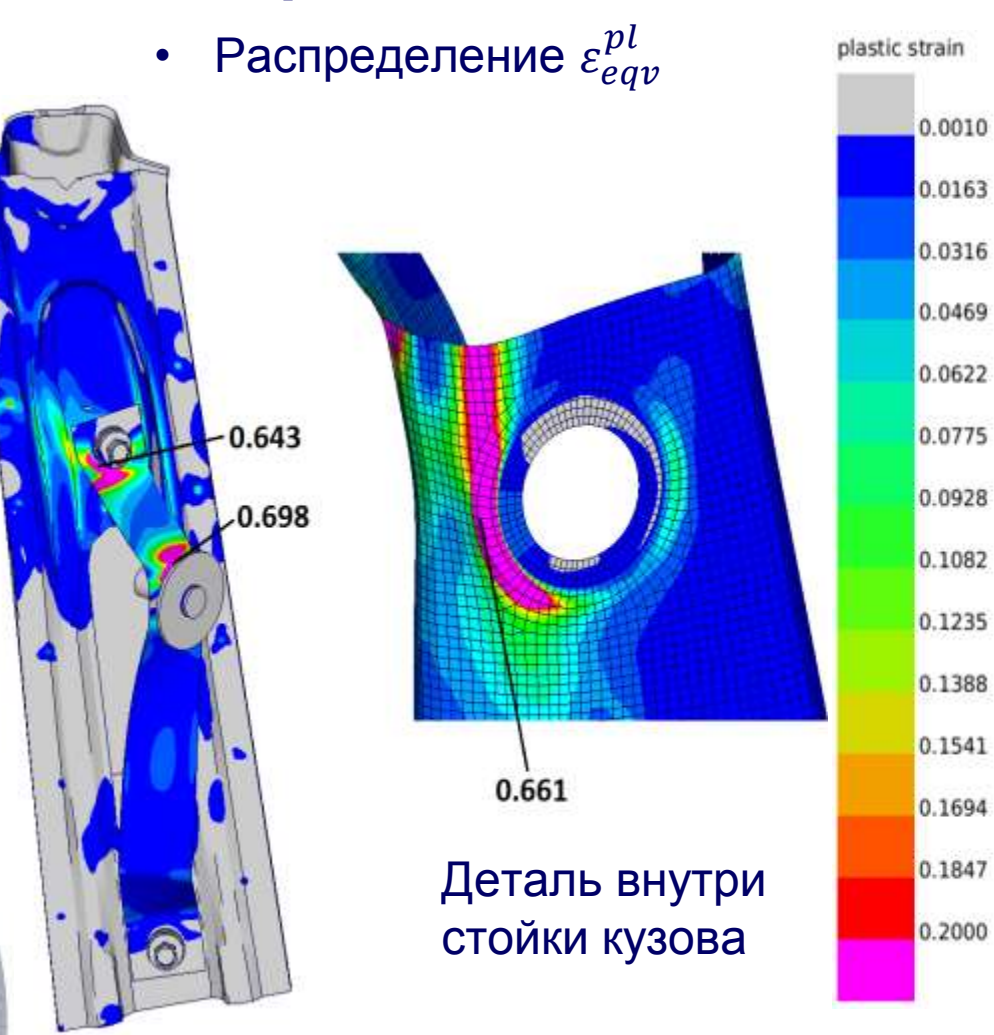
Результаты КЭ моделирования

КЭ модель верхнего болта

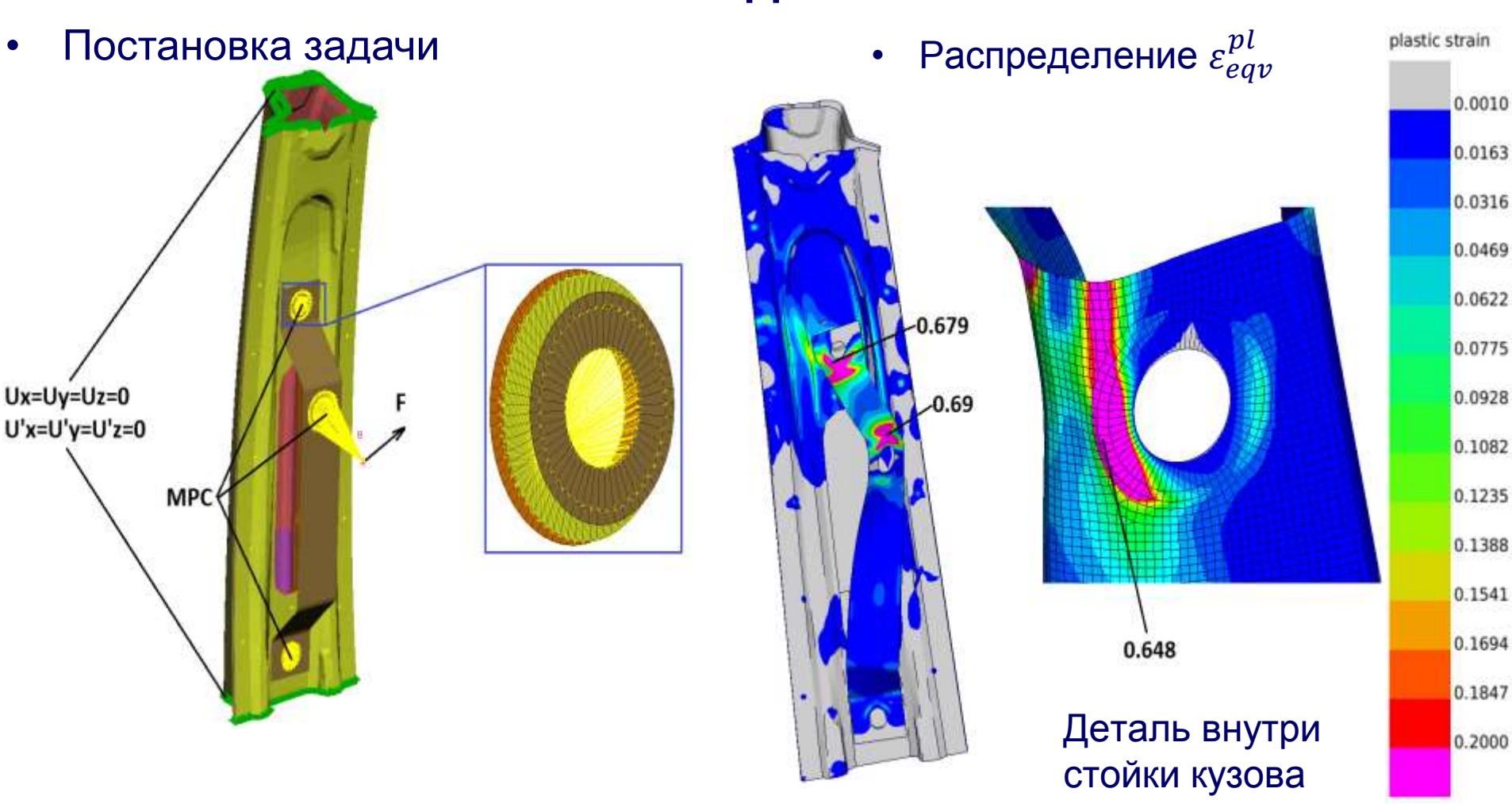


• КЭ модель среднего болта





Замена болтовых соединений МРС связями

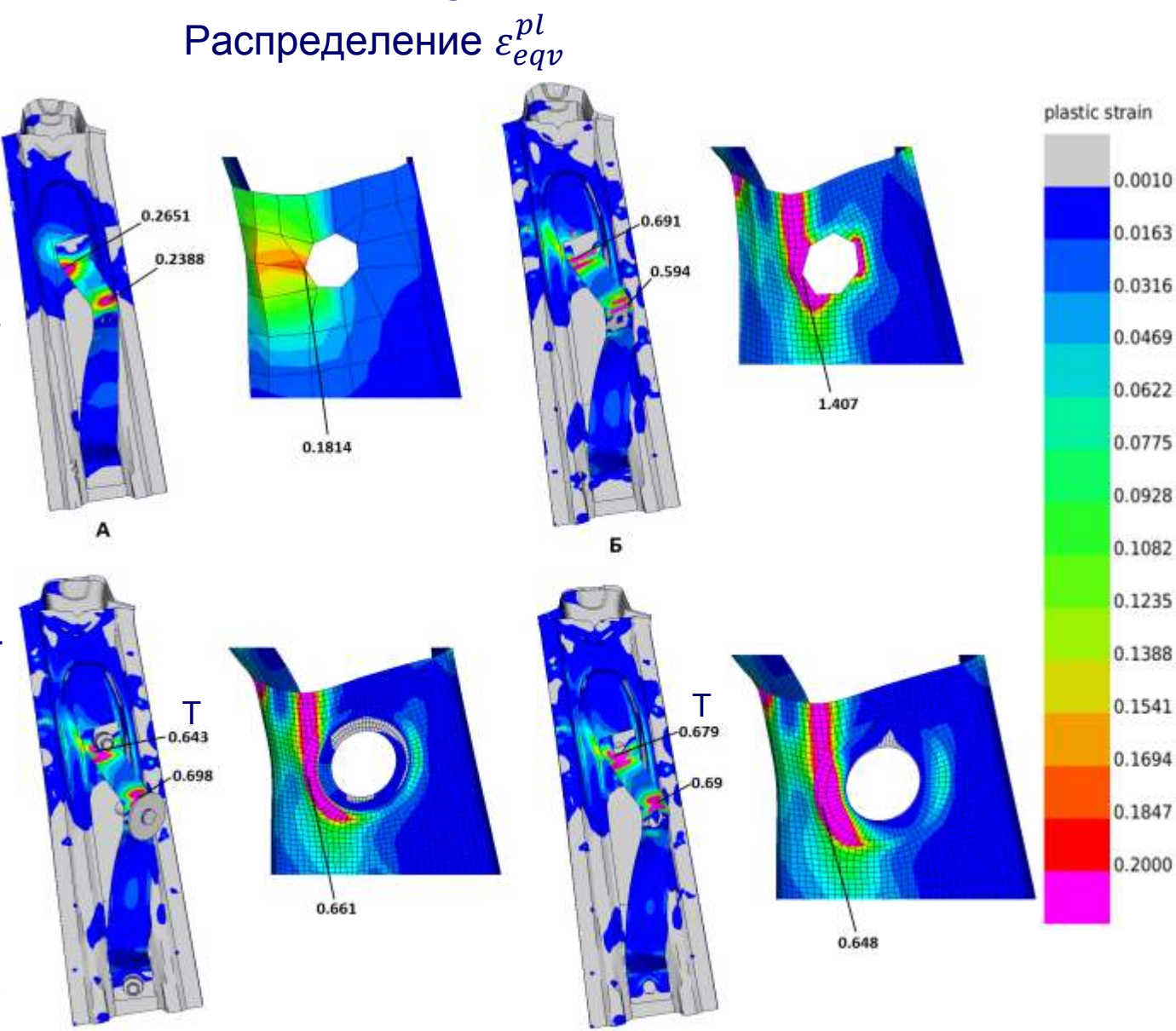


- NFE 134 025
- NN 136 389
- NDF 818 334
- Средний размер элементов – 1 мм
- Тип KЭ S4R и S3R



Сравнение результатов

- A заниженные значения $arepsilon_{eqv}^{pl}$
- Б простое измельчение сетки КЭ без изменения геометрии приводит к очень большим ε_{eav}^{pl}
- В и Г аккуратное моделирование геометрии и креплений приводит к уменьшению ε_{eqv}^{pl} более, чем в 2 раза
- максимальное расхождение наибольших ε_{eqv}^{pl} для случаев В и Г (точка Т) составляет 5.6 %



Разработанная методика испытаний

- На первом этапе решается динамическая задача растяжения РБ натяжными устройствами при использовании обрезанной части кузова в соответствии с правилами № 14 ЕЭК ООН. Определяются направления и значения усилий, действующие со стороны РБ на точки крепления. Определяются силы и моменты, возникающие между подушкой и металлическим каркасом сиденья в результате контактного взаимодействия растягивающего устройства с подушкой
- На втором этапе разрабатываются подробные КЭ модели частей кузова автомобиля, которые содержат места крепления ремня безопасности. Рекомендуемый размер элементов 1мм
- На третьем этапе проводятся статические испытания разработанных моделей при использовании эквивалентных сил и моментов, заменяющих действие РБ при его растяжении



Заключение

- для моделирования тестов были разработаны КЭ модели кузова автомобиля, водительского сиденья, ремня безопасности и растягивающего устройства
- была решена модельная задача изгиба балки П-образного сечения в динамической и статической постановках. Показана возможность перехода от решения динамической задачи к решению статической задачи
- Было проведено численное моделирование испытаний на прочность в соответствии с правилами №14 ЕЭК ООН и сравнение результатов тестов при использовании целого кузова и обрезанной части кузова. Была показана возможность замены действия ремней безопасности при их растяжении на действие сосредоточенных сил и моментов, а также возможность проведения испытаний в статической постановке
- было проведено исследование сходимости численного решения. Была показана возможность отдельного рассмотрения частей кузова автомобиля, содержащих места крепления ремней безопасности
- было проведено исследование влияния КЭ моделей креплений ремней безопасности на результаты испытаний
- была разработана новая методика численного моделирования испытаний на прочность мест креплений ремней безопасности в соответствии с правилами № 14 ЕЭК ООН

Спасибо за внимание!